

Received	2025/11/10	تم استلام الورقة العلمية في
Accepted	2025/11/29	تم قبول الورقة العلمية في
Published	2025/11/30	تم نشر الورقة العلمية في

## تأثير مياه البحر على المياه الجوفية بالمنطقة الساحلية

جودائم - صبراته

مجيد ختريش<sup>1</sup>، ناجي شكشم<sup>2</sup>، على ابوصلوحة<sup>3</sup>، طارق ارحومة<sup>4</sup>

1، 2، 4 - كلية الهندسة - جامعة صبراته - ليبيا

3 - الاكاديمية الليبية - ليبيا

[Khitreesh@yahoo.com](mailto:Khitreesh@yahoo.com)

### الملخص:

تتناول هذه الدراسة تلوث المياه الجوفية ب المياه البحر و مدى انتشاره في الخزان الجوفي الأول بمنطقة الدراسة الممتدة من مدينة الزاوية الى مدينة صبراته، حيث تم تحديد أربعة مقاطع عمودية على البحر تحتوي كل منها على 10 آبار.

لتعرف على مدى شدة تلوث الخزان الجوفي ب المياه البحر استخدم مؤشر جونز (Na/CL)، مؤشر (Ca/mg)، مؤشر (BEX)، ومؤشر (GALADIT) ذي المعاملات الستة الأكثر تأثيرا على تسرب مياه البحر وذلك بإجراء التحاليل الفيزيائية والكيميائية على عينات من المياه الجوفية من تلك الآبار شملت: الموصولة الكهربائية، الأملاح الكلية الذائبة، والكاتيونات والأيونات الموجبة والسلبية، أيون الهيدروجين.

ومن خلال النتائج اتضح أن أعلى تلوث حدث في المقطع الثالث بمنطقة صرمان بالبئر رقم 21 الذي يبعد مسافة 827 متر عن البحر بقيمة 98.74 حسب نسبة (SR)، بينما أقل نسبة تلوث كانت بمنطقة الحرفة بالبئر رقم 11 الذي يبعد مسافة 600 متر بقيمة 20.8، وأظهرت النتائج قابلية الخزانات الجوفية في منطقة الدراسة لخطر التلوث بدرجة متوسطة حسب نموذج جالدات (GALADIT).

وخلصت الدراسة الى مجموعة من التوصيات اهمها، خفض كمية السحب إلى أقل من كمية التغذية الطبيعية للخزان الجوفي، وترشيد استهلاك المياه في مجال الزراعة واستخدام التقنيات الحديثة في مجال الري.

**الكلمات المفتاحية:** تداخل مياه البحر بالمياه الجوفية، مؤشرات تلوث المياه الجوفية.

## The impact of seawater on groundwater in the coastal area of Joudeim – Sabratha

**Majid khitreesh<sup>1</sup>, naji Shaksham<sup>2</sup>, ali abuslua<sup>3</sup>, tark rhuma<sup>4</sup>**

1,2,4 Faculty of Engineering, Sabratha University –Libya,  
3-. Libyan Academy - Libya

[Khitreesh@yahoo.com](mailto:Khitreesh@yahoo.com)

### **Abstract:**

This study addresses the contamination of groundwater by seawater and the extent of its intrusion into the first aquifer within the study area extending from the city of Az-Zawiya to the city of Sabratha. Four cross-sections perpendicular to the coastline were identified, each containing ten wells.

To assess the severity of seawater intrusion into the aquifer, several indices were employed, including the Jones Index (Na/Cl), the Ca/Mg ratio, the Base Exchange Index (BEX), and the GALADIT model, which incorporates the six most influential parameters related to seawater intrusion. This assessment was conducted through physical and chemical analyses of groundwater samples collected from the wells. The analyses covered electrical conductivity, total dissolved solids, major cations and anions, and hydrogen ion concentration pH.

The results revealed that the highest level of contamination occurred in the third section, specifically in Surman at well No. 21, located 827 meters from the coastline, with a value of 98.74 based on the SR ratio. In contrast, the lowest contamination level was recorded in Al-Harsha at well No. 11, located 600 meters from the sea, with a value of 20.8. The findings also indicated a moderate vulnerability of the aquifers within the study area to seawater intrusion, according to the GALADIT model.

The study concluded with several key recommendations, most notably reducing groundwater abstraction to levels lower than the natural recharge rate of the aquifer, rationalizing water consumption in the agricultural sector, and adopting modern irrigation technologies.

**Keywords:** seawater intrusion, groundwater pollution indicators

## 1- مقدمة

تعد ظاهرة تداخل مياه البحر مع المياه الجوفية من أهم المشاكل التي تواجه الخزانات الجوفية الواقعة في الشريط الساحلي بالغرب الليبي والتي يمكن أن تؤدي إلى تلوث مصادر المياه الجوفية، حيث يزداد التداخل عند حدوث خلل في الاتزان المائي بسبب هبوط مستوى المياه الجوفية كنتيجة للاستهلاك المفرط لهذا المصدر مما يؤدي إلى تلوث مخزون المياه الجوفية بالمنطقة كماً ونوعاً وهو ما حدث بمنطقة الدراسة على الشريط الساحلي ، تتناول هذه الدراسة تلوث المياه الجوفية بمياه البحر ومدى انتشاره في الخزان الجوفي الأول بالمنطقة الممتدة من جودائم إلى صبراته شمال غرب سهل الجفارة، حيث تعاني هذه المنطقة من هبوط مناسبات المياه الجوفية وبروز ظاهرة تداخل مياه البحر وتغير نوعية المياه بالمنطقة وتلوثها.

### 1.1 مشكلة الدراسة

تعتبر منطقة الدراسة واحدة من المناطق ذات الكثافة السكانية العالية في ليبيا ويعتمد سكانها كلياً على المياه الجوفية للاستهلاك البشري والزراعي، وذلك باستخدام عدد كبير من الآبار الارتوازية الموزعة بشكل عشوائي عبر المنطقة (الهيئة العامة للمياه، 2006) والتي تسببت في تلوث المياه الجوفية بمياه البحر نتيجة للاستهلاك المفرط للمياه الجوفية وتدني معدل هطول الأمطار، مما نتج عنه عدم التوازن بين التغذية والطلب. وهو ما يؤثر بشكل مباشر على التوازن الطبيعي بين المياه العذبة ومياه البحر ويسهل تداخل مياه البحر في الخزان الجوفي، مما يمثل تهديداً لطبقة المياه الجوفية الساحلية.

### 2.1 اهداف الدراسة

- دراسة الخواص الكيميائية للمياه الجوفية في منطقة الدراسة والتوزيع المكاني لها.
- دراسة مدى تعرض الخزانات الجوفية للتداخل بمياه البحر باستخدام بعض النماذج والمؤشرات الكيميائية.
- تحديد المناطق الأكثر حساسية للضخ ومناطق تداخل المياه المالحة المحتملة.
- اقتراح الحلول والتوصيات للحد من تلوث المياه الجوفية بمياه البحر.

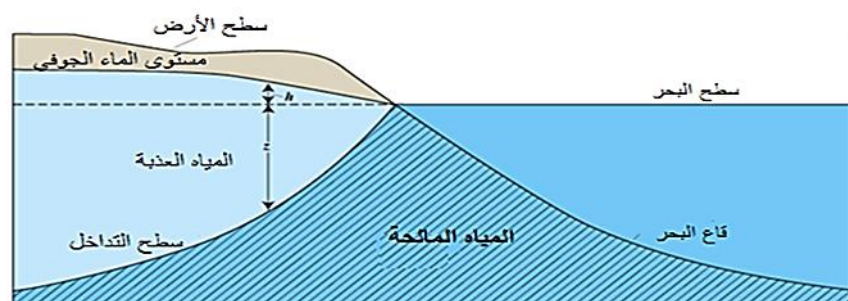
## 2- الجانب النظري والدراسات السابقة

المياه الجوفية لا تتوارد في حالة نقية بل تحتوي على مواد عالقة وأخرى مذابة بنسبة مقاواة تحدد نوعيتها وتعتبر مؤشر على مصدر هذه المياه، فالمياه الجوفية تحتوي على تراكيز مختلفة من الأملاح المذابة أثناء حركة تلك المياه وغالباً ما تحتوي تلك المياه على نسب عالية من الأملاح نتيجة لازابة تلك المياه لبعض التكوينات الجيولوجية القابلة للذوبان في الماء مثل كلوريد الصوديوم وكربونات الكالسيوم. يعتبر زحف المياه المالحة نحو الخزانات الجوفية مصدراً واضحاً لتدحرج المياه الجوفية وتلوثها ويتم التعرف عليها من خلال إجراء التحاليل الكيميائية لعينات المياه للتعرف على تراكيز الأملاح بها ومعرفة مدى تلوثها.

تحتوي المياه الجوفية على عدد من الأملاح الذائبة، ويعتمد نوع وتركيز تلك الأملاح على البيئة التي تتوارد فيها المياه الجوفية وكذلك حركة المياه الجوفية ويتم تصنيفها إلى أيونات موجبة مثل الكالسيوم ( $Ca_2^+$ )، الصوديوم ( $Na^+$ )، البوتاسيوم ( $K^+$ )، الماغنيسيوم ( $Mg^{+2}$ )، وأيونات سالبة مثل الكلوريدات ( $Cl^-$ )، الكربونات والبيكربونات ( $CO_3^{2-}$ ،  $HCO_3^-$ )، الكبريتات ( $SO_4^{2-}$ ).

### 1.2 تداخل مياه البحر

في الظروف الطبيعية يكون هناك اتزان هيدروستاتيكي ما بين الماء المالح والمعذب في الخزانات الجوفية لكن قد يختل هذا الازان نتيجة لسحب المياه الجوفية من الخزانات مما يقلل من الضغط الهيدروستاتيكي وهبوط منسوب الماء الجوفي لتداخل المياه المالحة في تلك الخزانات نتيجة لاختلاف الكثافة كما مبين بالشكل 1.



شكل 1. سطح التداخل بين الماء المالح والمعذب في الخزانات الجوفية

## 2.2 المؤشرات الكيميائية لتدخل مياه البحر

المياه الجوفية عادة تحتوي على العديد من الأملاح الذائبة ويعتمد نوع وتركيز الأملاح على البيئة التي تتواجد فيها المياه الجوفية، إلا أن أكثر من 90% من هذه الأملالح تتمثل في عناصر: الكلوريد ( $\text{Cl}^-$ ) ، الصوديوم ( $\text{Na}^+$ ) ، المغنيسيوم ( $\text{Mg}^{++}$ ) ، الكالسيوم ( $\text{Ca}^{+2}$ ) ، البوتاسيوم ( $\text{K}^+$ ) ، الكربونات ( $\text{CO}_3^-$ ) ، البيكربونات ( $\text{HCO}_3^-$ ) ، والكبريتات ( $\text{SO}_4^{2-}$ ) . وإذا زادت تركيزات هذه الأملالح عن الحد المسموح به حد من استعمالات المياه في الأغراض المختلفة وتصبح تلك المياه ملوثة ( الغرياني سعد، أحمد خماج، وأخرون، 2014 ) ، ويمكن تحديد مصدر التلوث حسب نوع الأملالح الذائبة في المياه الجوفية والتي غالباً ما يكون مصدرها مياه البحر و تتواجد فيه بنساب عالية، مثل كلوريد الصوديوم والمغنيسيوم، وبذلك فإن زيادة هذه العناصر عن الحد المسموح يعطي مؤشر لتدخل مياه البحر، أما العناصر الأخرى التي تتواجد في المياه الجوفية عادة ما تتواجد بتركيزات صغيرة في مياه البحر وبذلك زيتها عن الحد المسموح به لا ينبع إلى تدخل مياه البحر .

وبناءً على تركيز تلك الأملالح، وضعت عدة مؤشرات توضح تلوث المياه الجوفية بمياه البحر، ومن تلك المؤشرات، نموذج سيمبسون (SR) المؤشر الذي يعتمد على النسبة بين أيون الكلوريد إلى أيون الكربونات والبيكربونات حيث أن أيون الكلوريد سائد في مياه البحر، ويتوارد بكميات صغيرة فقط في المياه الجوفية، وأن البيكربونات والكربونات هي الأيونات السائدة في المياه الجوفية، وتتوارد بكميات قليلة في مياه البحر .

## 3.2 دراسات سابقة

هناك العديد من الدراسات السابقة التي تطرقت لموضوع تداخل مياه البحر بالساحل الليبي ومنطقة سهل الجفارة وتتناوله من زوايا مختلفة ذكر منها .

1- دراسة قام بها ( Floegle, 1979 ) حول تداخل مياه البحر على طول الشريط الساحلي بمنطقة سهل الجفارة حيث تطرقت الدراسة إلى ظاهرة تداخل مياه البحر وتضمنت تجميع ودراسة البيانات الهيدروليكية و تجميع عينات المياه من مجموعة الآبار الواقعة على امتداد 13 مقطع و اعتمدت على قياس مجموع الأملالح الكلية الذائبة وقياس كمية تركيز أيوني الكلوريد والبيكربونات وبينت نتائج التحاليل أن المنطقة الممتدة على طول الشريط

الساحلي مسافة في حدود (1-2 كيلومتر) تعرضت إلى تداخل مياه البحر وحلت محل المياه المستنزفة العذبة وكذلك حددت الدراسة خط التداخل.

2- بينت دراسة قام بها (Sadeg, 1996) حول دراسة تداخل مياه البحر في منطقة طرابلس بالخزان الرباعي حيث هبوط كبير في مستويات المياه الجوفية أدى إلى تداخل مياه البحر مع مياه الخزانات الجوفية العذبة بالمنطقة واعتمدت هذه الدراسة على قياس تراكيز الكاتيون والأنيون وأشارت إلى زيادة مساحة المنطقة المتأثرة بتدخل مياه البحر حيث بلغت حوالي 250 كيلو متر مربع وبعمق وصل إلى أكثر من 10 كيلو متر جنوب شاطئ منطقة طرابلس

3- أجريت دراسة ( بمكتب البحث والاستشارات الهندسية، كلية الهندسة، 2002) جامعة طرابلس بعنوان تداخل مياه البحر بمنطقة شمال غرب ليبيا. شملت معظم الشريط الساحلي بمنطقة سهل الجفارة بالمنطقة الواقعة بين الحدود التونسية غرباً ومنطقة الخمس شرقاً بعمق يتراوح ما بين 5 إلى 10 كيلومتر. وخلصت الدراسة إلى أن المنطقة الممتدة على طول الشريط الساحلي بين العجبلات غرباً وجوداً تعرضت إلى تداخل مياه البحر ولمسافة تتراوح ما بين 3-2 كيلومتر، أما المنطقة الواقعة ما بين الماء غرباً وحتى تاجوراء شرقاً تفاصلت تداخل مياه البحر ما بين 5-9 كيلومتر.

4- دراسة قام بها (Ekhmaj et al., 2014) بعنوان حالة تداخل مياه البحر في منطقة طرابلس حيث تم استخدام مؤشرين للدلالة على حدوث تداخل مياه البحر وهما مؤشر سيمبسون (Simpson) ممثلاً بنسبة الكلوريدات إلى البيكربونات والكاربونات، ومؤشر جونز (Jones) ممثلاً بنسبة الصوديوم إلى الكلوريدات وقد تبين من خلال الدراسة أن نمط توزيع هذين المؤشرين مشابه إلى حد كبير نمط توزيع مجموع الأملاح الكلية الذائبة وتوزيع الكلوريدات في منطقة الدراسة، كما خلصت الدراسة إلى أنه وفقاً لهذين المؤشرين فإن مياه الخزانات الجوفية متأثرة بشدة بملوحة مياه البحر عند مسافة تتراوح من 9 إلى 12 كم من خط الساحل.

### 3- المنهجية والجانب العملي

تعتمد هذه الدراسة على المنهج الوصفي التحليلي من خلال القياسات الميدانية والتحاليل المخبرية، وذلك بهدف تقييم تأثير تداخل مياه البحر على نوعية المياه الجوفية في المنطقة الساحلية الممتدة من جودايم إلى صبراتة، حيث تقع منطقة البحث على الساحل الغربي

لليبيا، بين مدینتي جوادیم وصبراتة، بين (12.66 - 12.69) شرقاً و (32.70 - 32.79) شمالاً، وتنمیز المنطقة بوجود خزانات جوفية ساحلية ضحلة، تتأثر بشكل مباشر بالأنشطة البشرية بالقرب من البحر الأبيض المتوسط. حيث تم اختيار [عدد 40] آبار جوفية موزعة على امتداد المنطقة الساحلية المدروسة وبعمق 10كم، بحيث تغطي المناطق القريبة من البحر والمناطق الداخلية كما مبين بالشكل 2.



شكل 2. موقع ابار الدراسة

#### 4- النتائج والمناقشة

##### 4-1: المؤشرات العامة وتقييم تداخل مياه البحر بمنطقة الدراسة

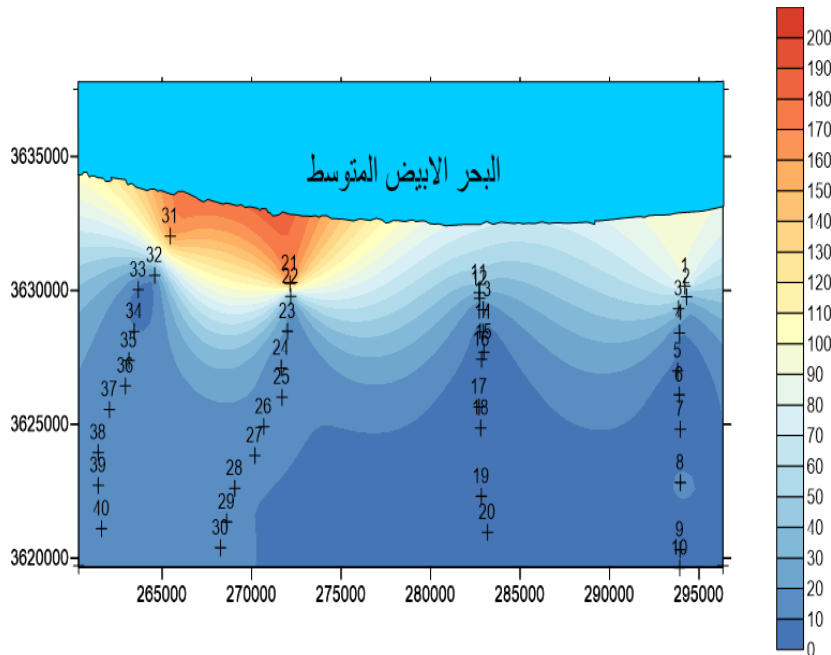
استخدمت مجموعة من المؤشرات لدراسة مدى تداخل مياه البحر بمنطقة الدراسة التي تشمل مناطق جوادیم، الحرثة، صرمان وصبراتة، حيث تم استخدام عدد 40 بئر بواقع 10 آبار في كل قطاع على مسافة تراوحت بين ساحل البحر وموقع الابار بين 500 - 1800 متر بعمق يتراوح (10-16) م، ومنسوب الماء الساکن بين (60-8) متر عن سطح الأرض كما مبين بالجدول 1، وهي آبار سطحية من الخزان الرياعي الحر تستخدم للشرب والصناعة وللأغراض الزراعية.

#### جدول 1: موقع آبار الدراسة بالقطاعات وابعادها عن البحر

سمك المخزان (م)	مستوى الماء الساكن (م)	العمق الكلي للبئر (م)	منسوب نقطة القياس (ف. ش. بـ) (م)	خط العرض	خط الطول	المسافة من البحر (م)	القطاع	نقطة البئر
4	16	20	20	3632016	265456	500	صبراته	1
15	60	75	22	3621090	261612	11800		10
74	36	110	41	3620302	293938	10200	جودان	9
48	35.7	84	41	3619622	293919	11227		10
8	8	16	20	3630247	272148	827	صربون	1
10	60	70	45	3620375	268262	11342		10

وقد تم التمثيل البياني للنتائج المتحصل عليها باستخدام برنامج سيرفر (Surfer 10) لرسم مخططات بيانية مترادفة لتوزيع الايونات الذائبة في المياه وذلك وفق المؤشرات والنتائج التالية :

تتمثل نسبة سيمبسون (Simpson ratio)، مؤشر لتحديد مدى تلوث المياه الجوفية بمياه البحر، وتحسب وفقاً للمعادلة التالية:  $SR = \frac{Cl^-}{(HCO_3^- + CO_3^{2-})}$  ، حيث يبين الجدول 2 نسبة سيمبسون و مستويات تلوث المياه الجوفية بمياه البحر، حيث كانت أعلى نسبة لمستوى تلوث شديد بمقطع صرمان عند البئر رقم 21 بمقدار 98.7 . ثم بنسبة 93.6 عند البئر رقم 31 بمقطع صبراته ثم بنسبة 50.73 عند البئر رقم 1 بمقطع جودايم، وأخيراً 20.8 عند البئر رقم 11 بمقطع الحرشة كما مبين بالشكل 3 لكافة القطاعات.



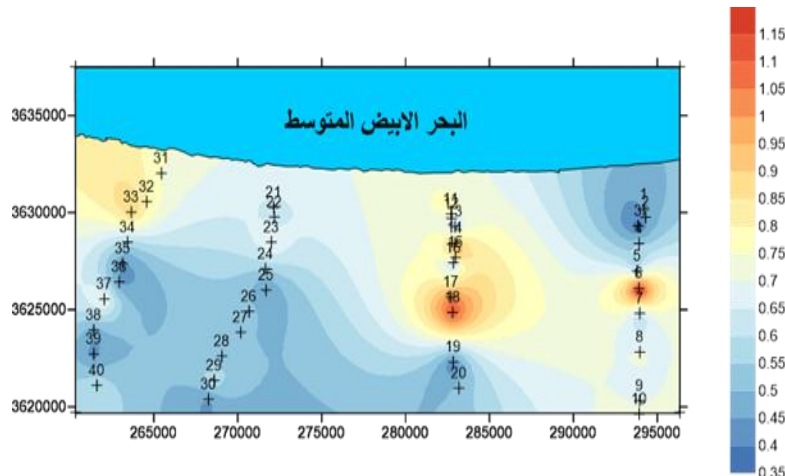
شكل 3. التوزيع المكاني لعناصر نموذج نسبة سيمبسون

#### ب - نسبة جونز (JR).

يتم حساب نسبة جونز (JR) للتمييز بين نوعية المياه سواءً كانت مياه بحر أو غيرها من مصادر المياه (Ekhmaj et al., 2014). حيث تشير القيم المنخفضة منها على أن المياه المالحة أصلها مياه البحر بحيث تكون هذه النسبة أقل من 0.86 نسبة مولارية أما إذا كانت القيمة أعلى من (1) فهي تكون مياه عذبة، كما يمكن حساب (JR) باستخدام

$$\text{المعادلة التالية} \quad JR = \frac{Na^+}{Cl^-}:$$

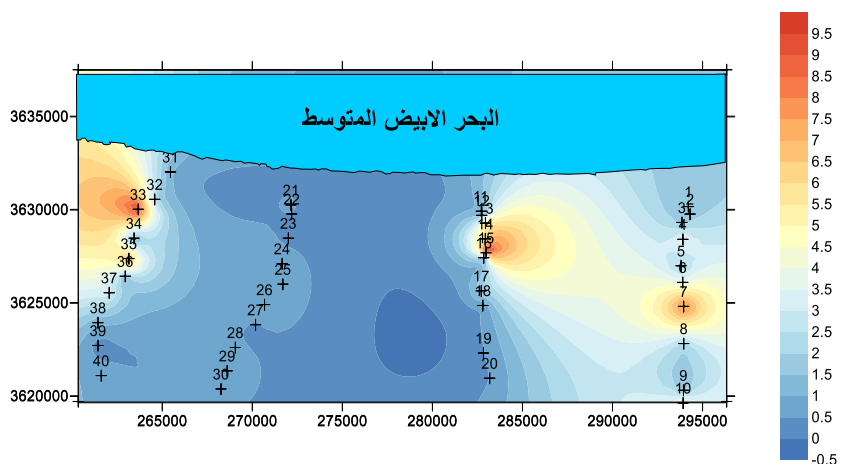
وكما مبين بالشكل 4، أظهرت النتائج في جميع أبار منطقة الدراسة ان نسبة جونز أقل من 0.86 وان الملوحة مصدرها مياه بحر.



شكل 4. التوزيع المكاني لعناصر نموذج جونز باستخدام برنامج Surfer

#### ت- نسبة الكالسيوم/الماغنيسيوم (Ca/Mg)

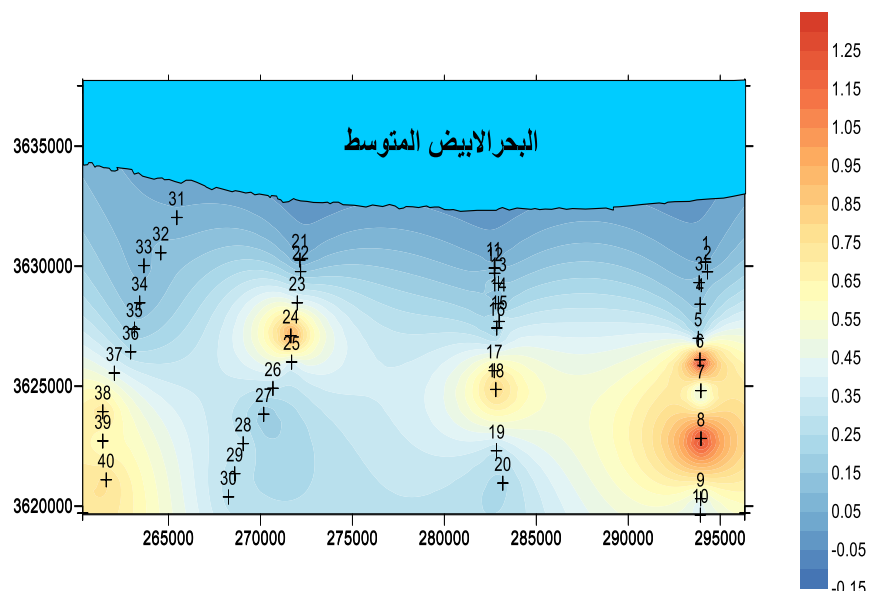
يحدد المؤشر نوعية تلوث المياه الجوفية ب المياه البحر أو من مصادر أخرى، إذا كانت النسبة أعلى من واحد يدل على حدوث تسلسق لمياه البحر نحو المياه الجوفية وبالتالي يدل على حدوث ظاهرة التداخل (كنان، 2022). تراوحت قيمة المؤشر بين أقل نسبة 0.41 في البئر رقم 24 قاطع صرمان و أعلى نسبة 10.9 في البئر 17 بقاطع الحرشه ، كما مبين بالشكل 5، مما يلاحظ وجود تأثير لمياه البحر في المياه الجوفية.



شكل 5. التوزيع المكاني لنسبة Ca/Mg باستخدام Surfer

### ثـ- نسبة الكبريتات/الكلور (SO<sub>4</sub>/Cl)

لتحديد تسرب مياه البحر تعتبر هذه النسبة مهمة، إذا كانت النسبة أقل من 1 تشير إلى تسرب مياه البحر ، وإذا تجاوزت النسبة 1 فيدل على وجود تلوث ناتج عن استخدام الأسمنت الجبس. وضحت النسب الجيوكيميائية أن 95% من أبار منطقة الدراسة توجد بها تداخل لمياه البحر، حيث كانت أقل نسبة 0.035 عند البئر رقم 1 بقطاع جودايم، واعلى نسبة 1.41 عند البئر رقم 6 بقطاع جودايم كما مبين بالشكل 6.



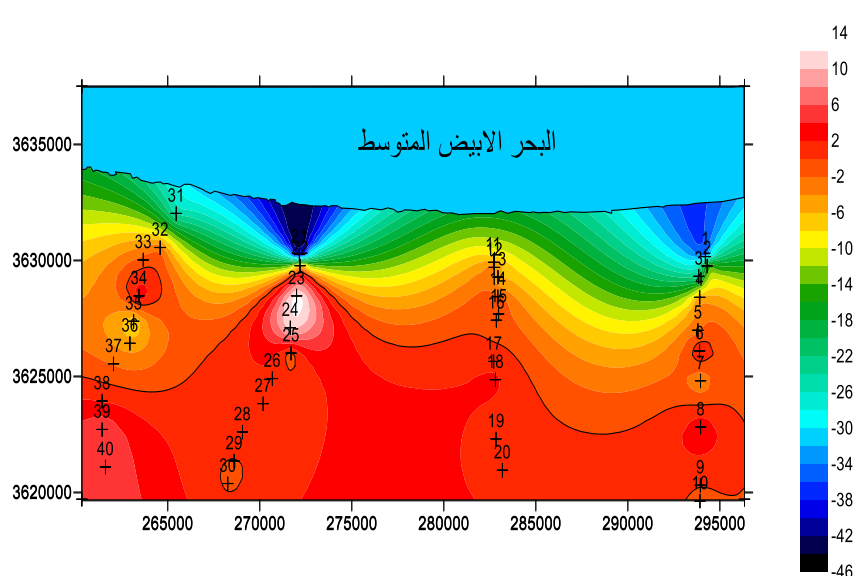
شكل 6. التوزيع المكاني لنسبة SO<sub>4</sub>/Cl باستخدام برنامج Surfer

### دـ- مؤشر التبادل الأساسي (BEX)

هو مؤشر التبادل الأساسي Base Exchange indices و أحد المؤشرات المستخدمة للتمييز بين تملح طبقة المياه الجوفية (Stuyfzand, 2008). ويتم حسابه من خلال المعادلة

$$BEX = \text{Na} + \text{K} + \text{Mg} - 1.0716\text{Cl} \text{ (meq/L)}$$

وتشير قيمة  $BEX$  السالبة (المياه مالحة) الناتجة من البحر ، وتعبر القيمة الموجبة (المياه عذبة) ، وتشير القيمة الصفرية (عدم وجود تبادل) . أظهرت النتائج ان قيمة  $(BEX)$  بمعظم الآبار بالقطاعات الأربع سالبة وترواحت بين  $-0.23$  -  $-44.23$  ، وشكلت نسبة  $BEX$  السالبة للأبار المدروسة حوالي  $70\%$  ، وهى كما مبين بالشكل 7



شكل 7. التوزيع المكاني لعناصر نموذج نسبة  $BEX$  باستخدام برنامج سيلفر

#### ذ- نموذج (GALDIT)

يعتبر نموذج (GALDIT) أحد أهم النماذج المستخدمة في دراسة مدى هشاشة الخزانات الجوفية للتلوث بمياه البحر ، وله مميزات منها التكلفة المنخفضة ويمكن أن يطبق في منطقة واسعة لأنه يسهل جمع البيانات المطلوبة. حيث توضح طريقة GALDIT مدى تأثير المعاملات الهيدروجيولوجية المختلفة على تداخل مياه البحر في الخزان الجوفي واستخدمت بشكل واسع في تقييم هشاشة الخزانات الجوفية (Recinos et al 2014). والعوامل المهمة التي يعتمد عليها النموذج كما مبين بالجدول 2.

جدول 2: عوامل GALDIT ((GALDIT)) والأهمية الوزنية لكل عامل

الرمز	اسم العامل	الأهمية الوزنية
G	نوع الخزان الجوفي	1
A	التصویل الهیدروليکی للخزان	3
L	ارتفاع مستوى الماء الجوفي فوق منسوب ماء البحر	4
D	المسافة من الشاطئ إلى البئر وعمودية على خط الشاطئ	4
I	تأثير حالات وجود تداخل مياه البحر	1
T	سمك الخزان الجوفي	2

و يتم حساب مؤشر (GALDIT) بضرب النسبة الوزنية الثابتة لكل عامل في معدل القيمة لنفس العامل مقسوماً على مجموع الأوزان حسب المعادلة التالية:

$$(1) \quad \text{GALDET-Index} = \sum_{i=1}^6 w_i \times R_i / \sum_{i=1}^6 w_i$$

حيث  $W_i$  هي النسبة الوزنية للعامل (i).

وأن  $R_i$  هي معدل القيمة للعامل (i).

تصنيف هشاشة الخزانات الجوفية ( Zarour, T., 2017 ) حسب نموذج GALDIT بعد حساب مؤشر (GALDIT)) يمكن تصنیف المنطقة الساحلية إلى فئات متنوعة طبقاً لهشاشة الخزان للتدخل الناتج لأعلى وأقل مؤشر (GALDIT)) تتراوح ما بين 2.5 - 10 مقسمة إلى ثلاثة مجموعات كما في الجدول (3).

جدول 3: تصنیف هشاشة الخزانات الجوفية

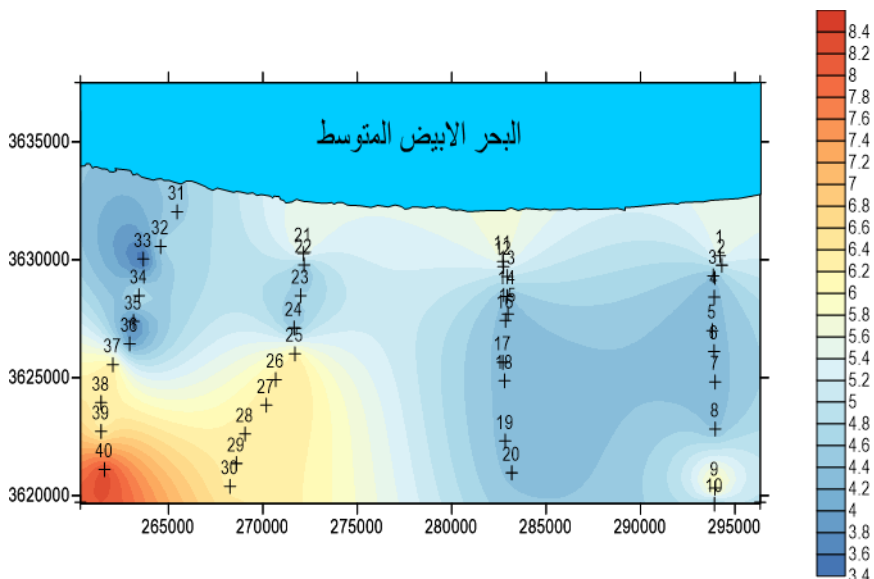
رقم التسلسل	MDI مؤشر GALDIT-	تصنيف الهشاشة
1	أكبر من أو تساوي 7.5	أعلى هشاشة
2	من 5 - 7.5	متوسطة الهشاشة
3	أقل من 5	منخفضة الهشاشة

تم حساب مؤشر GALDIT وفقاً للمعادلة (1) وذلك بالأخذ في الاعتبار قيم معدلات العوامل المختلفة وأهميتها الوزنية، يوضح الشكل 8 التوزيع المكاني لقيم مؤشر نموذج

جالدت لمنطقة الدراسة والذي يتبيّن من خلاله أنّ أغلب آبار الخزانات الجوفية السطحية في منطقة الدراسة معرضة لخطر التداخل ب المياه البحر بنسبة 65% وبدرجة متوسطة بقيم تتراوح من 5 إلى 7.5، فيما يقل معدل هشاشة التداخل في أغلب الحافة الجنوبية والجنوبية الغربية لمنطقة الدراسة، حيث بلغت نسبة الآبار ذات الهشاشة المنخفضة لخطر التداخل ب المياه البحر وفقاً لنموذج جالدت 31%.

إن انخفاض قيم مؤشر جالدت لمنطقة الدراسة يعزى بدرجة أساسية إلى انخفاض قيم معدلات كل من معامل التوصيل الهيدروليكي وارتفاع منسوب الماء الجوفي بالنسبة لمستوى سطح البحر وكذلك لتساوي قيم معدلات كل من سمك الخزان الجوفي، والمسافة العمودية للأبار من شاطئ البحر.

كما إن انخفاض قيمة الأهمية الوزنية لعامل تأثير حالات تداخل مياه البحر والذي يعتبر أحد أهم العوامل الدالة على حدوث تداخل لمياه البحر ويجعل من مساهمه في قيم مؤشر جالدت النهائية منخفضة. وقد أظهرت استخدام نموذج GALDIT أن منطقة الدراسة معرضة لخطر تداخل مياه البحر بدرجة متوسطة الخطورة، حيث تتقاضص خطورة التداخل بمياه البحر في الاتجاه الجنوبي من منطقة الدراسة.



شكل 8. مؤشر نموذج GALDIT العام

#### 4-2: الخصائص الكيميائية والتوزيع المكاني للأملاح في أبار منطقة الدراسة

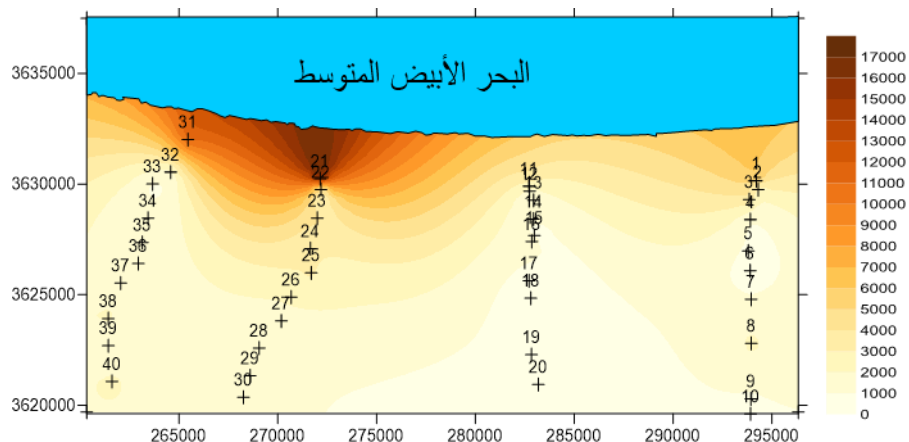
تم في هذه الدراسة إجراء بعض التحاليل التي اشتملت على قياس درجة التوصيل الكهربائي (EC) والأملاح الكلية الذائبة (TDS) وكذلك إجراء بعض التحاليل الكيميائية للعناصر الرئيسية والتي تضمنت تقدير الأيونات الذائبة الموجبة والتي تتمثل في الصوديوم ( $+Na^2$ ) والبوتاسيوم ( $+K^+$ ) والكالسيوم ( $+Ca^{2+}$ ) والمغنيسيوم ( $Mg^{2+}$ ) والأيونات الذائبة السالبة ،المتمثلة في كل من أيونات الكلور ( $-Cl^-$ ) والبيكرbonات ( $-HCO_3^-$ ) و الكبريتات ( $-SO_4^{2-}$ ). وكانت النتائج المتحصل عليها كما بالجدول 11، وتم توضيحها في الأشكال 9، 10، 11، 12، 13، 14، 15.

جدول 4: تحليل الخصائص الكيميائية لأبار منطقة الدراسة

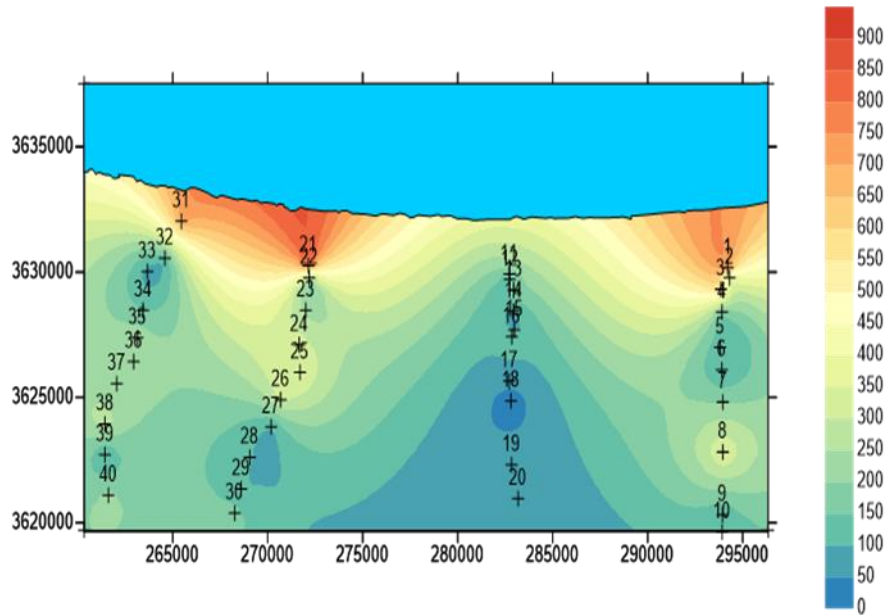
No <sub>3</sub> - Mg/L	Cl- Mg/L	So <sub>4</sub> - Mg/L	HCO <sub>3</sub> - Mg/L	K+ Mg/L	Na+ Mg/L	Mg <sup>++</sup> Mg/L	Ca <sup>++</sup> Mg/L	TDS Mg/L	تبعد عن النهر كم	النهر
44.3	3470	165	68.4	18	1048	296	737	5847	962	1
26.6	1145	180	81.6	8	345	111.8	320	2219	1600	2
22.9	1972	337	90	12	475	199.3	585	3693	2000	3
35.4	450	90	84	4	166	24.3	152	1006	2954	4
18.7	389	116	75.6	4	149	34.02	120	906	4161	5
28.1	120	233	79.2	2	98	14.58	96	671	5126	6
44.6	378	182	99.6	5	148	14.58	200	1072	6617	7
37.5	498	893	78	8	233	102.07	352	2202	8652	8
35.2	285	170	74.4	4	126	38.88	104	838	10200	9
37.5	240	145	78	4	121	14.6	112	753	11227	10
13.3	1750	113	84	16.5	896	87.49	192	3153	600	11
12.1	402	118	52.8	6	179	58.32	56	914	900	12
10	610	129	80.4	9	236	19.44	200	1294	1400	13
8.2	561	92	129.6	10.5	351	9.72	88	1250	2200	14
20.9	210	109	87.6	4.5	125	4.86	87	650	3000	15
30.4	670	121	144	22.5	259	82.63	136	1465	3950	16
19.9	155	148	86.4	6	104	19.44	64	603	4954	17
18.5	80	90	82.8	4.5	60	24.3	24	384	5670	18
35.4	410	162	69.6	4.5	108	102	80	971	8000	19
15.2	390	126	76.8	7.5	135	77.77	64	892	9920	20

#### تابع الجدول 4: تحليل الخصائص الكيميائية لأبار منطقة الدراسة

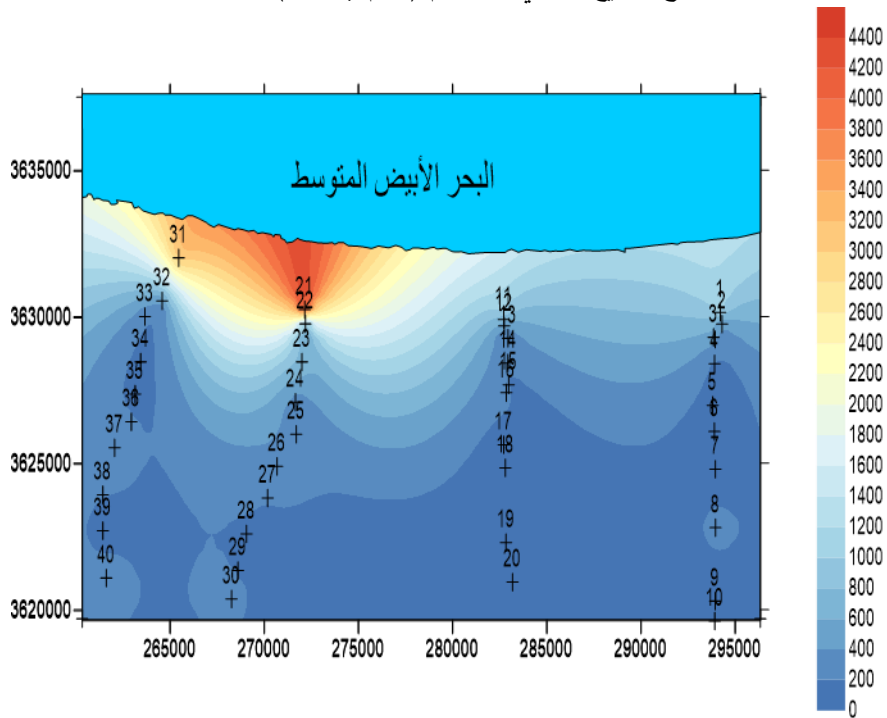
No <sub>3</sub> - Mg/L	Cl- Mg/L	SO <sub>4</sub> - Mg/L	HCO <sub>3</sub> <sup>-</sup> Mg/L	K <sup>+</sup> Mg/L	Na <sup>+</sup> Mg/L	Mg <sup>++</sup> Mg/L	Ca <sup>++</sup> Mg/L	TDS Mg/L	البعد عن البحر	النقطة الجغرافية	النقطة الجغرافية
9.7	10190	637	103.2	91	4288	947.96	841.27	17108.6	827	21	النقطة 21
11.5	1340	299	138	31	544	194.41	160.3	2718.44	1320	22	النقطة 22
37.3	1660	980	156.6	42	784	347.03	240.36	4257.27	2600	23	النقطة 23
28	800	1157	147.6	32	293	267.21	331.93	3056.94	4020	24	النقطة 24
22.28	1300	655	133.2	16	374	263.74	354.82	3119.25	5084	25	النقطة 25
20.6	1025	426	106.8	10	353	211.46	309.03	2372.56	6268	26	النقطة 26
26.56	630	131	82.8	7	208	121.46	85.84	1292.87	7628	27	النقطة 27
62.6	515	217	81.6	8	177	111.05	103.01	1275.38	8927	28	النقطة 28
20.95	490	178	80.4	6	190	76.36	103.01	1144.92	10288	29	النقطة 29
17.29	910	348	91.2	8	263	190.89	171.69	2000.96	11342	30	النقطة 30
28.8	6350	537	67.8	43.5	3102	403.41	705.34	11238.3	500	31	النقطة 31
17.4	630	105	98.4	15	334	29.16	104.2	1333.3	2100	32	النقطة 32
14.4	410	46	115.2	12	245	4.86	80.15	928.28	2700	33	النقطة 33
19.5	455	77	70.8	12	169	116.65	152.29	1372.69	4270	34	النقطة 34
22.1	560	128	72	10.5	161	19.44	240.46	1213.61	5260	35	النقطة 35
40.1	763	271	81.6	12	219	102.07	232.44	1721.39	6375	36	النقطة 36
23.8	580	348	74.4	13.5	279	38.88	208.4	1566.19	7670	37	النقطة 37
32.8	660	680	79.2	9	204	155.53	280.53	2101.17	9160	38	النقطة 38
36.5	550	438	67.2	10.5	155	189.55	88.17	1535.02	10300	39	النقطة 39
36.1	649	683	82.8	12	257	160.39	216.41	2097.58	11800	40	النقطة 40



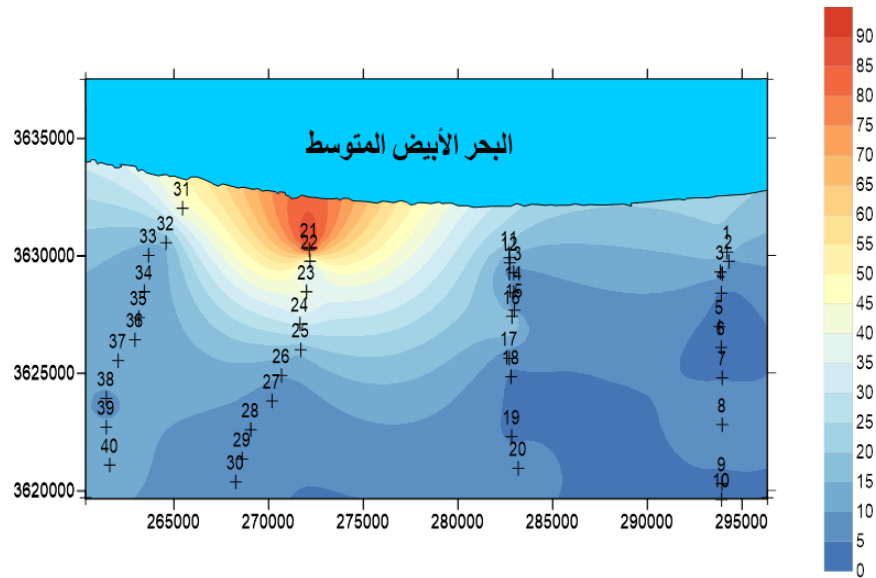
شكل 9. التوزيع المكاني لتركيز الاملاح الذائبة الكلية (مليجرام/لتر) في آبار منطقة الدراسة



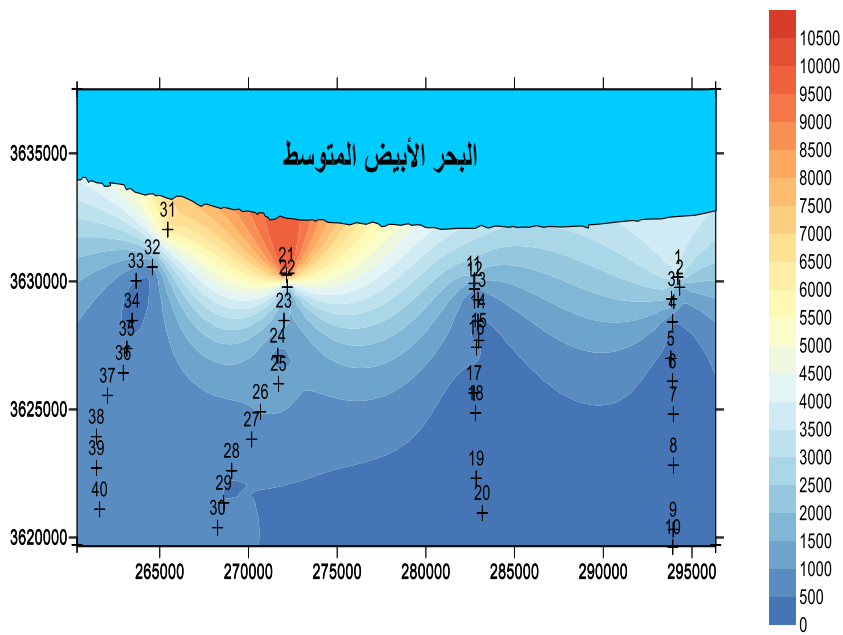
شكل 10. يوضح التوزيع المكاني للكالسيوم (ملجم / مكافئ) لأبار منطقة الدراسة



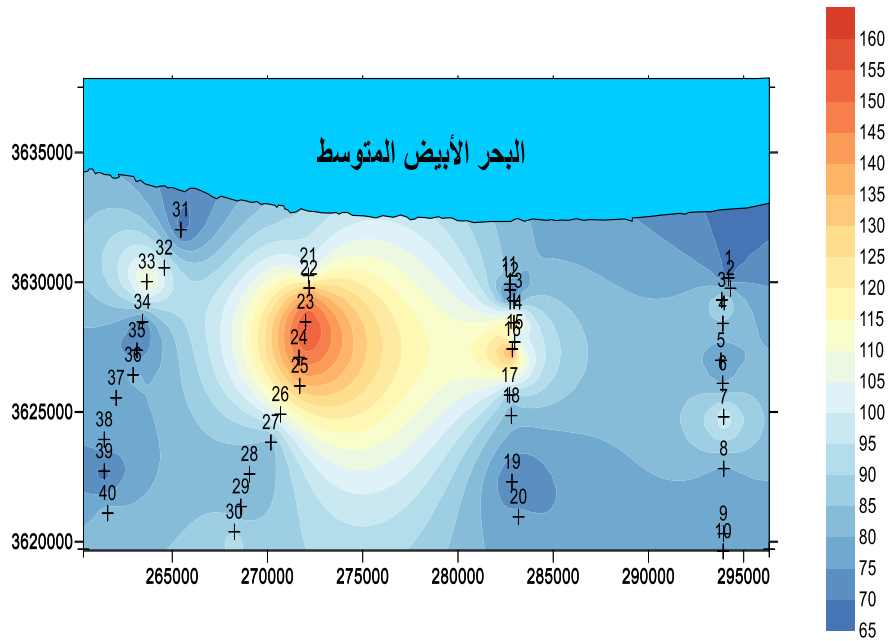
شكل 11. يوضح التوزيع المكاني للصوديوم (ملجم / مكافئ) لأبار منطقة الدراسة



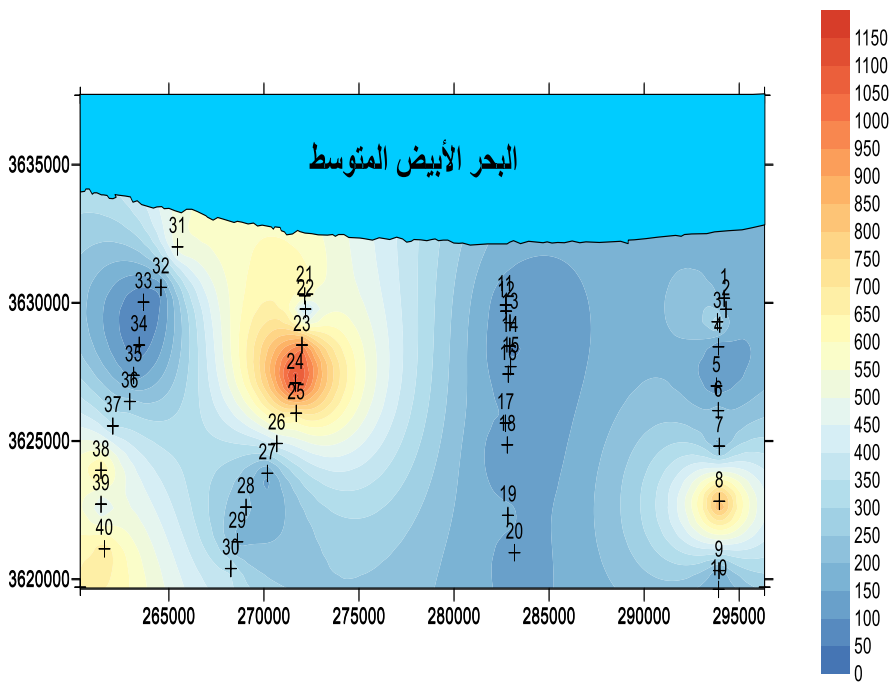
شكل 2. يوضح التوزيع المكاني للبوتاسيوم (ملجم / مكافئ) لأبار منطقة الدراسة



شكل 13. يوضح التوزيع المكاني للكلوريد (ملجم / مكافئ) لأبار منطقة الدراسة



شكل 14. يبين التوزيع المكاني للبيكربونات (ملجم / مكافئ) لأبار منطقة الدراسة



شكل 15. يوضح التوزيع المكاني للكبريتات (ملجم / مكافئ) لأبار منطقة الدراسة

## 5: الخلاصة

من نتائج الدراسة نلاحظ إن تركيز بعض العناصر الكيميائية كان عالي في أغلب الآبار القريبة من البحر ، حيث وصل تركيز الأملاح الذائبة الكلية إلى أكثر من (1000 ملigram /لتر) في كل الآبار القريبة من شاطئ البحر حيث وصل أعلى تركيز في البئر رقم 31 قاطع صرمان إلى (17108 ملigram /لتر) أما في الآبار بعيدة عن البحر فكان التركيز مقبول في أغلب الآبار. أما بالنسبة للصوديوم لأن مرتفع في الآبار القريبة من شاطئ البحر حيث وصل أعلى تركيزه في البئر 31 صرمان إلى (4288 ملigram /لتر) و في الآبار بعيدة عن البحر فكان التركيز مقبول في أغلب الآبار ، أما بالنسبة للكلوريد فكان هو ايضاً مرتفع في الآبار القريبة من شاطئ البحر حيث وصل إلى (10190 ملigram /لتر) في البئر 31 قاطع صرمان، أما في الآبار بعيدة عن البحر فكان التركيز مقبول في أغلب الآبار . وحيث أن هذه العناصر من أكبر محتويات مياه البحر فوجودها بتركيز عالي في الآبار القريبة من شاطئ البحر وتناقص تركيزها كلما ابتعدنا عن البحر هذا دليل قوي على تداخل مياه البحر في المياه الجوفية. مما يعني تلوث هذه المياه والذي يؤدي بدوره إلى الحد من إمكانية استغلال هذه المياه في الكثير من أوجه الحياة.

## 6: التوصيات

من خلال النتائج تبين أن منطقة الدراسة تعاني من تداخل مياه البحر ومع اعتماد المنطقة المتزايد على المياه الجوفية للاستعمال المنزلي والزراعي فان حدة التلوث يتضاعف مع مرور السنوات، وخاصة مع قلة التغذية عن طريق مياه الامطار ، لذلك يجب التأكيد على النقاط التالية:

1. خفض كمية السحب إلى أقل من كمية التغذية الطبيعية للخزان الجوفي.
2. الحد من حفر الآبار العشوائية بدون تراخيص من الجهات المختصة للتقليل من استنزاف المياه والمحافظة على الخزان الجوفي كمصدر رئيسي للمياه بالمنطقة.
3. حفر ابار مراقبة على طول الساحل تمكن من دراسة نوعية المياه مع العمق كما يمكن من خلالها تحديد زحف المياه المالحة.
4. ترشيد استهلاك المياه في مجال الزراعة واستخدام التقنيات الحديثة في مجال الري.

## المراجع

- الغرياني سعد، أحمد خماج، واخرون، 2014ف. تقييم الآثار الاقتصادية والبيئية للزراعة المروية في المنطقة الشمالية الغربية، تقرير المرحلة الاولى، الهيئة الوطنية للبحث العلمي، طرابلس، ليبيا.
- الهيئة العامة للمياه، الوضع المائي بليبيا (2006).
- كنان راعي (2022)، تحديد الظروف المنشئية لتشكل النمط الحيويكيميائي للمياه الجوفية. مجلة جامعة تشرين. العلوم البيولوجية المجلد 44 العدد (3).
- مكتب البحث والاستشارات الهندسية، 2002ف، دراسة تداخل مياه البحر بمنطقة شمال غرب ليبيا، جامعة طرابلس.

- Ekhmaj, I. A, Ezlit, Y., and Elaalem, M. (2014). The Situation of Seawater Intrusion in Tripoli, Libya. (BCES-2014) June 14-15, 2014 Penang (Malaysia).
- Flogel, H. (1979). Seawater Intrusion Study. SARALD/FAO project. Tripoli.
- Recinos N, kallioras A, Pliakas F, Schuth C (2014) Application of GALDIT index to assess the intrinsic vulnerability to seawater intrusion of coastal granular aquifers.
- Sadeq, S. (1996). Numerical Simulation of Saltwater Intrusion in Tripoli, Libya. Ph.D. Thesis, The Middle East Technical University Ankara, Turkey, 191pp. 07, Options Mediternian.
- Stuyfzand P. J. (2008) "Base exchange indices as indicators of salinization or freshening of (coastal) aquifers," in the 20th salt water intrusion meeting, Naples, Florida, USA.
- Zaarour, T., 2017. Application of GALDIT index in the Mediterranean region to assess vulnerability to seawater intrusion. Lund University GEM thesis series.

